

醋酸银真空浸渍制备杀菌功能载银活性炭及其表征

王自强, 刘守新*

(东北林业大学材料科学与工程学院, 哈尔滨 150040)

摘要:通过醋酸银真空浸渍法制备了银缓释杀菌功能载银活性炭(Ag/AC),研究了其对大肠杆菌(*E. coli*)的杀灭性能和抗银流失性能。以气体吸附仪测定活性炭的比表面积和孔结构,以扫描电子显微镜(SEM)观察Ag/AC表面形貌,以X射线衍射(XRD)考察Ag/AC晶体结构。结果表明,单质银均匀负载在活性炭表面。随着CH₃COOAg浸渍浓度的增加,活性炭的载银量和银颗粒的粒径也随着增加,而比表面积、总孔容和平均孔径随之减少。当载银量为0.97% (质量分数)时,该法制备的Ag/AC在120 min内杀灭10⁷ CFU/mL浓度的*E. coli*,展示出与浸渍法制备的Ag/AC相近的杀菌活性;但在振荡30 d后,其银流失百分量仅为37.6%,抗银流失性能远高于浸渍法制备的Ag/AC。在保持较高杀菌活性前提下,可以实现银的缓释。

关键词:真空浸渍;载银活性炭;载银量;抗菌;缓释

中图分类号:X52; TQ424.1 文献标识码:A 文章编号:0250-3301(2011)01-0145-06

Preparation and Characterization of Activated Carbon-Silver Composite with Antibacterial Behavior via Vacuum Impregnation Method

WANG Zi-qiang, LIU Shou-xin

(College of Material Science and Engineering, Northeast Forestry University, Harbin 150040, China)

Abstract: Activated carbon-silver composite (Ag/AC) for antibacterial performance by controlling silver release was prepared by silver acetate vacuum impregnation method. The antibacterial activity towards *E. coli* and resistance of water erosion was investigated through distilled water. Surface area and porosity analyzer, Scanning electron spectroscopy (SEM) and X-ray diffraction (XRD) were used to characterize the surface morphology and pore properties. The results show that Ag⁰ was deposited on AC symmetrically. The content of silver supported and particle size were increased by the increasing of the concentration of CH₃COOAg, while specific surface area, total pore volume and average pore size were decreased. Ag/AC prepared with silver content of 0.97% which killed 10⁷ CFU/mL concentration of *E. coli* in 120 min exhibited the similar antibacterial activity for *E. coli* with that prepared by traditional impregnation method. However, the silver loss of the Ag/AC prepared with silver content of 0.97% was 37.6%, showing much higher resistance to water erosion. High antibacterial activity and control silver release can be simultaneously realized by the silver acetate vacuum impregnation method.

Key words: vacuum impregnation; activated carbon-silver composite; silver content; antibacterial; control release

活性炭(activated carbon, AC)具有高比表面积、优异的吸附性能以及发达的孔结构,被广泛应用于饮用水深度净化^[1~4]。但AC在净化过程中,由于其良好的生物相容性和化学相容性^[5,6],水中微生物很容易在吸附有机物的AC上繁殖,导致水中微生物数量明显增加;另外,吸附在AC上的某些微生物可将水中的氨转化为亚硝酸盐,致使水中亚硝酸盐增高^[7,8]。为克服此缺点,通常将具有杀菌性能的物质负载在AC表面,以消除饮用水深度净化过程中微生物繁殖所带来的二次污染。银离子具有抗菌广谱、杀菌效率高、不易产生抗药性等优点,可以用来杀死或者抑制细菌、病毒、藻类和真菌,甚至能阻止HIV与寄主细胞的结合,对HIV病毒有一定的抑制作用^[9~14]。目前,国内外饮用水深度净化AC通常以载银为主。

在实际应用过程中,需要考虑载银活性炭

(Ag/AC)3个方面:①载银后保持高比表面积;②保持高抗菌活性;③保持高抗银流失性能。目前市售Ag/AC的制备方法主要以浸渍法为主,方法简单但银极易流失,不能达到持久杀菌的效果,并且短时间内释造成水体中银粒子浓度急剧升高,从而对人体造成伤害^[15~17]。因此,实现Ag/AC的高抗菌活性和银缓释具有重要意义。

本研究采用醋酸银真空浸渍法制备Ag/AC,利用物理吸附仪,XRD、SEM对Ag/AC进行表征,通过对*E. coli*的杀菌实验和振荡法测量Ag/AC的抗菌性能和抗银流失性能。

收稿日期:2010-01-29;修订日期:2010-04-09

基金项目:黑龙江省杰出青年基金项目(JC200801);黑龙江省科技攻关计划项目(GB06B501-3)

作者简介:王自强(1985~),男,硕士研究生,主要研究方向为载银活性炭,E-mail:tandy_3964@163.com

* 通讯联系人, E-mail:liushouxin@126.com

1 材料与方法

1.1 载银活性炭的制备

以唐山建新活性炭厂的椰壳活性炭为原料。使用前,先以蒸馏水洗以除去其表面浮尘和杂质,在105℃恒温干燥12 h后储于干燥器中备用(标为AC_{raw})。在真空条件下,将一定量的AC_{raw}分别浸渍到浓度为1.0、2.0、4.0和8.0 g/L的CH₃COOAg溶液中12 h,之后用蒸馏水洗涤直至洗涤液中无银离子检出,然后将上述AC于70℃在真空干燥箱中烘4 h,在氮气保护下,于500℃煅烧2 h制得Ag/AC。按照所采用CH₃COOAg溶液浓度的不同,分别标记为Ag/AC₁、Ag/AC₂、Ag/AC₃、Ag/AC₄。

1.2 银含量测定

把样品在105℃烘箱中干燥2 h后称取10 g(精确至0.01 g)于瓷蒸发皿中,置于马弗炉中于800℃灼烧,灼烧完全后冷却取出,加入250 mL/L硝酸溶液,加热煮沸5 min;冷却后过滤到锥形瓶中;再用30 mL/L稀硝酸溶液洗涤瓷蒸发皿,洗至锥形瓶中。在上述锥形瓶中加入80 g/L硫酸铁铵溶液5 mL作为指示剂,用0.1 mL/L硫氰酸钠标准溶液滴定,溶液首先出现白色沉淀,继续滴定至溶液呈浅棕红色,保持30 s,即为终点。载银量计算公式如下:

$$x = c \times V \times 0.1079 / m \times 100\%$$

式中,x为炭样中载银量(质量分数,%),c为硫氰酸钠标准溶液浓度(mol/L),V为硫氰酸钠标准溶液用量(mL),0.1079为与1.00 mL硫氰酸钠标准溶液(1.000 mol/L)相当的银以g表示的质量,m为炭样的质量(g)^[18]。

1.3 载银活性炭的表征

利用ASAP2020物理吸附仪测定载银活性炭的比表面积及孔容孔径,采用低温液氮(77 K)吸附法,相对压力(p/p_0)范围0.01~1.0,所有样品测试前在300℃脱气10 h。利用QUATA200扫描电镜观察银颗粒的形貌与大小。利用日本理学D/max-rB型X射线衍射仪分析载银活性炭的结构(测定条件为室温Cu K α 射线,管电压40 kV,管电流30 mA)。

1.4 抗菌实验

配置大肠杆菌的肉汤培养基(牛肉膏、蛋白胨、琼脂、NaCl、水、pH 7.2~7.4)。移取100 mL蒸馏水到锥形瓶,加入少量肉汤培养基,再加入2.0 g Ag/AC,用高压灭菌锅灭菌后,冷却至室温。然后在锥形瓶中接入实验菌种,并每隔一段时间测一次细菌浓度。细菌浓度用稀释平板法测定(条件:37℃,

培养48 h)。每次抗菌实验均同时进行空白和平行对照实验^[19]。

1.5 载银活性炭的抗银流失性能

取100 mL蒸馏水和2.0 g载银活性炭放入250 mL的锥形瓶中,于25℃条件下以150 r/min恒温振荡,并每隔一段时间测一次水中银的浓度,银的浓度通过双硫肿分光光度法于TU-1900型紫外-可见分光光度计上测量^[20,21]。

2 结果与讨论

2.1 载银量及孔结构

银离子可以与活性炭发生氧化还原反应,被还原成单质银而被吸附在活性炭表面^[22]。Ag/AC的银含量、BET比表面积、总孔容和平均孔径如表1所示。随着CH₃HOOAg溶液浓度的增加,Ag/AC的银含量随之增加,而比表面积、总孔容和平均孔径减小。其中Ag/AC₁的比表面积和总孔容比AC_{raw}的大,可能是因为AC在500℃煅烧时,能使AC发生再活化,使Ag/AC比表面积和总孔容变大。通过测量未煅烧前的Ag/AC的比表面积,发现500℃煅烧后,不同的Ag/AC的比表面积和总孔容都有不同程度的增加。银颗粒沉积于载体表面后,总孔容和平均孔径减小,可能是一些细小银颗粒分散于孔的孔道内所致。AC负载银颗粒后比表面积下降,这可能是由于银对氧有独特的亲和力,只需很少能量就能克服银与氧的排斥力,氧原子很容易通过银的晶格,填充在银的八面体空穴中^[23,24],成为银生长的晶核,并成长为银颗粒负载而堵塞AC孔隙,导致AC比表面积降低。该法制备Ag/AC的比表面积的下降率很低,载银后仍可保持较高的比表面积,而NaBH₄还原法制备的相同载银量的Ag/AC的比表面积下降了近50%。

表1 AC及Ag/AC的载银量、BET比表面积、总孔容和平均孔径

Table 1 Results of silver content, S_{BET} , total pore volume and average pore size of AC and Ag/AC

样品	银含量 /%	BET比表面积 / $m^2 \cdot g^{-1}$	总孔容 / $cm^3 \cdot g^{-1}$	平均孔径 /nm
AC _{raw}		876.2058	0.4526	2.0662
Ag/AC ₁	0.093	904.2370	0.4668	2.0648
Ag/AC ₂	0.38	824.4819	0.4092	1.9853
Ag/AC ₃	0.97	779.5362	0.3988	1.9659
Ag/AC ₄	1.65	655.1833	0.3200	1.95408

图1为AC_{raw}及Ag/AC的氮气吸附-脱附等温线,从中可知,AC_{raw}在 $p/p_0 < 0.1$ 时(p_0 是氮气的饱

和蒸汽压; p 是吸附平衡时的压力), 吸附等温线类似 Henry 吸附等温线, 说明有微孔的存在; 随着压力的增加又由多层吸附逐渐产生毛细凝聚, 在 p/p_0 为 0.45 ~ 0.97 范围内, 有一个典型的滞后环, 表明该 AC 有较小孔径的中孔, 且分布较广; 在较高的相对压力下 (> 0.97), 氮气吸附量有阶跃增加, 意味着孔的尺寸较大, 且分布较窄. Ag/AC 的吸附等温线与 AC 类似, 随着载银量的增加, 低压区吸附等温线逐渐减小, 说明部分微孔被银颗粒堵塞. 并且 p/p_0 值向低压移动, 滞后环逐渐变小, 说明存在一些瓶颈结构, 银颗粒把部分中孔堵塞. 当载银量达到 1.65%, 其吸附-脱附等温线中只有一个滞后环, 这是因为随着 CH_3HOOAg 溶液浓度的增加, 银颗粒的团聚程度也随之增加, 在 AC 表面形成粒径较大的颗粒, 将大孔堵塞了.

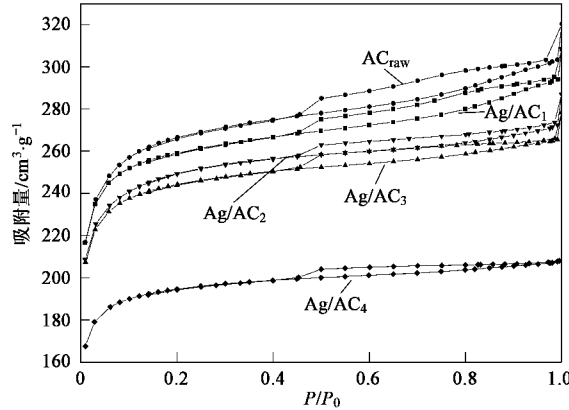


图 1 样品的氮气吸附-脱附等温线及 BJH 孔径分布

Fig. 1 N_2 adsorption-desorption isotherms
of AC_{raw} and Ag/AC

图 2 是 AC_{raw} 和 Ag/AC_4 的 BJH 孔径分布. 由图 2 可以看出 AC_{raw} 中的中孔主要分布在 2 ~ 15 nm 范围, 且存在微孔孔道和大孔孔道. 而 Ag/AC_4 中各个尺寸孔径的数量相比 AC_{raw} 都有不同程度的减少, 说明负载的银颗粒对 AC 的空隙都不同程度的堵塞. 这与图 1 的分析结果相符.

2.2 SEM 分析结果

不同 Ag/AC 的 SEM 如图 3 所示. 银颗粒主要分布在 AC 表面, 少量分布在大孔孔道中, 其粒径在 300 ~ 500 nm 之间, 粒径大小主要取决于 CH_3COOAg 溶液浓度. 当初始浓度为 1.0 g/L 时, 制备的 Ag/AC_1 表面银粒子数量较少, 粒径在 300 nm 左右, 分布均一; 当浓度增加至 2.0 g/L 时, 制备的 Ag/AC_2 表面银粒子数量随之增加, 且其颗粒的尺寸

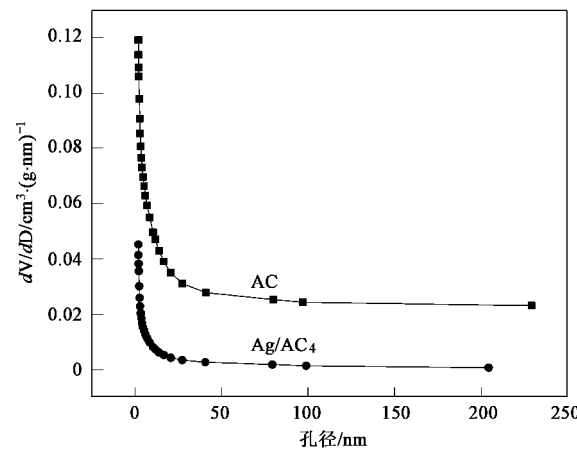


图 2 AC 及 Ag/AC_4 的 BJH 孔径分布

Fig. 2 The pore size distribution curves from the adsorption of samples AC_{raw} and Ag/AC_4

由 300 nm 增加到 350 nm, 分布仍比较均匀; 当 CH_3COOAg 溶液浓度增至 4.0 g/L 时, Ag/AC_3 中银粒子数量显著增多, 粒径在 350 nm 左右, 且出现一些粒径在 400 nm 的银颗粒, 说明随着浓度的增加, 负载在 AC 表面上的银密度增加, 导致团聚的增加; 当浓度为 8.0 g/L 时, 团聚进一步加剧, 颗粒粒径增加至 500 nm, 但分布仍比较均匀.

2.3 XRD 分析结果

图 4 是 Ag/AC 的 XRD 图. 2θ 值在 $20^\circ \sim 30^\circ$ 之间的宽峰对应的是石墨微晶 (002) 乱层结构. 经载银煅烧后, 该衍射峰的强度增加, 且 (002) 晶面对应峰的衍射角有轻微右移, 衍射角增大, d_{002} 减小, 由此表明经载银煅烧后, 改变了活性炭的石墨微晶结构. 样品 Ag/AC_3 、 Ag/AC_4 的 XRD 谱图中 2θ 值为 38.1° 、 44.2° 、 64.4° 的衍射峰分别对应了 $\text{Ag}(111)$ 、 $\text{Ag}(200)$ 、 $\text{Ag}(220)$ 晶面, 与纯银的标准 XRD 谱图 (JCPDS 卡片 04 - 0783) 相对应^[25,26], 且随着载银量的增加衍射峰强度增强; 而 Ag/AC_1 、 Ag/AC_2 只有很弱的银衍射峰, 因为银含量比较少, 衍射峰不明显.

2.4 抗菌性能

Ag/AC 的抗菌测试结果如图 5 所示. 从图 5 中可以看出, 随着载银量的增加, Ag/AC 表现出由无活性、抑菌到杀菌活性的变化规律, 且载银量越高, 抗菌性能越好. 载银量为 0.093% 的 Ag/AC_1 , 没有抗菌活性, 培养 24 h 后 $E. coli$ 浓度增加了一倍, 表明该样品没有抗菌活性. 对于载银量为 0.37% 的 Ag/AC_2 , 抗菌活性不强, 溶液培养 24 h 后 $E. coli$ 浓度变化不大, 表明该样品对大肠杆菌只能起到抑制

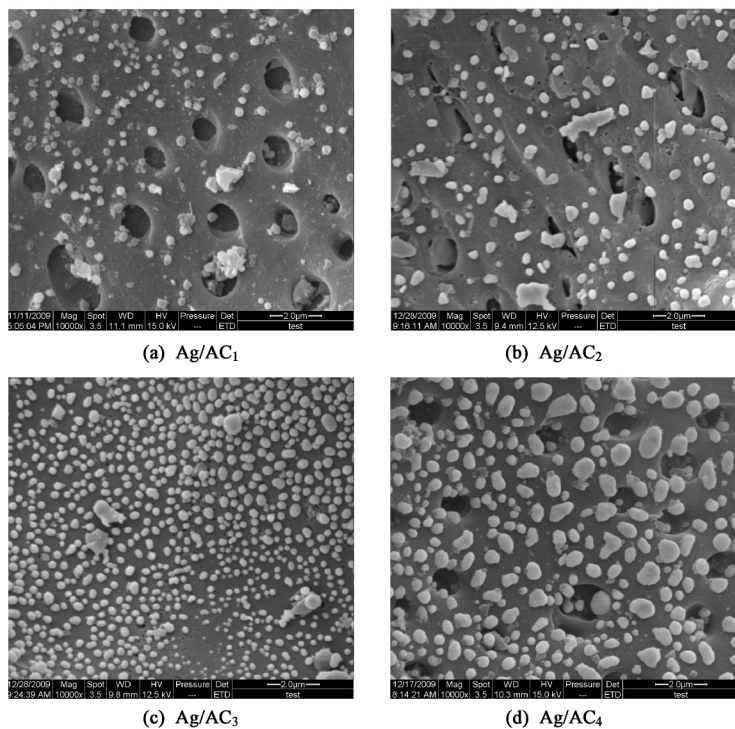


图 3 载银活性炭的 SEM 图

Fig. 3 SEM images of the prepared Ag/AC

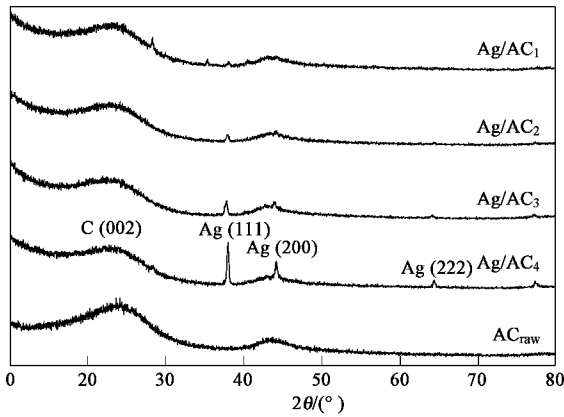


图 4 载银活性炭的 XRD 图

Fig. 4 XRD patterns of the prepared Ag/AC

作用。对于载银量为 0.97% 的 Ag/AC_3 样品能在 120 min 内杀灭 $10^7 \text{ CFU}/\text{mL}$ 浓度的 $E. coli$ 。而 Ag/AC_4 表现出很强的杀菌性能, 在 45 min 内杀灭 $10^7 \text{ CFU}/\text{mL}$ 浓度的 $E. coli$ 。与对照实验相比, 载银量 $> 0.97\%$ 的 Ag/AC 的活性与浸渍法制备的相同银担载量的 AC 相当。该法制备的 Ag/AC 比本课题组以前研究的 NaBH_4 还原法制备的 Ag/AC 的杀菌活性好, Ag/AC_3 的杀菌活性与 NaBH_4 还原法制备的载银量为 2.70% 的 Ag/AC 的杀菌活性相当。

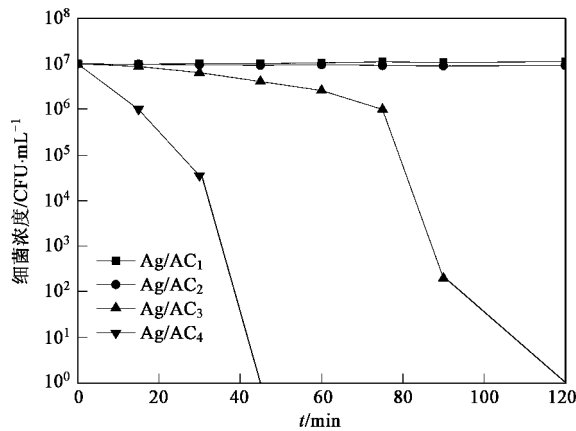


图 5 载银活性炭对大肠杆菌的抗菌性能

Fig. 5 Anti-bacterial performance towards $E. coli$ of the prepared Ag/AC

2.5 抗银流失性能

抗银流失性能的测试结果如图 6 所示。该法制备的 Ag/AC 表现出较高的抗银流失性能, Ag/AC_3 和 Ag/AC_4 在振荡 30 d 条件下银流失百分量分别为 37.6% 和 29.9%, 且随着时间的推移, Ag/AC 中的银越不易流失。浸渍法制备的 Ag/AC (标记为 $\text{Ag}/\text{AC}_{\text{ref}}$) 在相同条件下银的担载百分量仅为 2.6%, 短时间内几乎已全部流失。由此证明, AC 与

银之间的结合力很强,抗银流失性能好,可以实现银的缓释。

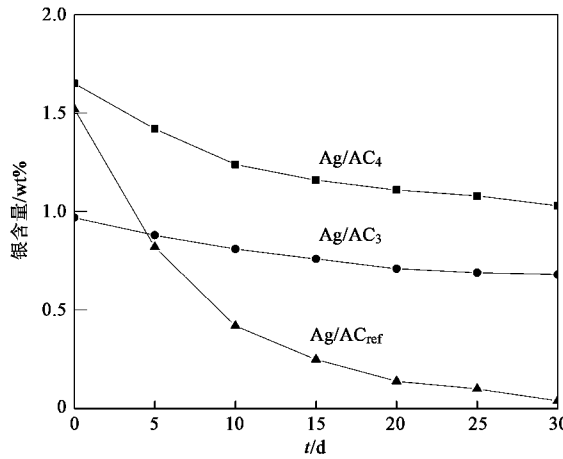


图6 载银活性炭的银流失与时间的关系

Fig. 6 Relation of silver loss of activated carbon supported with silver and time

3 结论

(1) 载银活性炭随着载银量的增加,表现出由无活性、抑菌到杀菌活性的变化规律。载银量为0.97%时,该Ag/AC在120 min内杀灭 10^7 CFU/mL浓度的 *E. coli*,且其振荡30 d后银流失百分量为37.6%

(2) 载银活性炭的载银量、比表面积、总孔容和平均孔径、生成单质银颗粒的粒径及分布取决于CH₃COOAg溶液浓度。Ag/AC经过500 °C的煅烧,有利于AC的再活化,并使银颗粒更加均匀的分布在AC表面。

参考文献:

- [1] Jang J, Ryu S K. Physical property and electrical conductivity of electroless Ag-plated carbon fiber-reinforced paper [J]. Journal of Materials Processing Technology, 2006, **180**(1-3): 66-73.
- [2] Lee Y S, Basova Y V, Edie D D, et al. Preparation and characterization of trilobal activated carbon fibers [J]. Carbon, 2003, **41**(13): 2573-2584.
- [3] Shi B, Meng W J, Evans R D, et al. Deposition of highly hydrogenated carbon films by a modified plasma assisted chemical vapor deposition technique [J]. Surface & Coatings Technology, 2005, **200**(5-6): 1543-1548.
- [4] Urabe Y, Ishikura T, Kaneko K. Development of porosity in carbons from yeast grains by activation with alkali metal carbonates [J]. Journal of Colloid and Interface Science, 2008, **319**(2): 381-383.
- [5] Park J B. Biomaterials: An Introduction [M]. New York: Plenum Press, 1992. 67.
- [6] Blazewicz M, Blazewicz S, Wajler C. Mechanical and implant behaviour of chemically modified carbon braids [J]. Ceramics International, 1994, **20**(2): 99-103.
- [7] Oya A, Yoshida S, Abe Y, et al. Antibacterial activated carbon fiber derived from phenolic resin containing silver Nitrate [J]. Carbon, 1993, **31**(1): 71-73.
- [8] Oya A, Wakahara T, Yohsida S, et al. Preparation of pitch-based antibacterial activated carbon fiber [J]. Carbon, 1993, **31**(8): 1243-1247.
- [9] Pape H L, Solano-Serena F, Contini P, et al. Involvement of reactive oxygen species in the bactericidal activity of activated carbon fibre supporting silver: Bactericidal of ACF(Ag) mediated by ROS [J]. Journal of Inorganic Biochemistry, 2004, **98**(6): 1054-1060.
- [10] Tang H Q, Feng H J, Zheng J H, et al. A study on antibacterial properties of Ag⁺-implanted pyrolytic carbon [J]. Surface & Coating Technology, 2007, **201**(9-11): 5633-5636.
- [11] Miyanaga S, Hiwara A, Yasuda H. Preparation and high bacteriostatic action of the activated carbons possessing ultrafine particles [J]. Science and Technology of Advanced Materials, 2002, **3**(2): 103-109.
- [12] Zhang S T, Fu R W, Wu D C, et al. Preparation and characterization of antibacterial silver-dispersed activated carbon aerogels [J]. Carbon, 2004, **42**(15): 3209-3216.
- [13] Lee H Y, Park H K, Lee Y M, et al. A practical procedure for producing silver nanocoated fabric and its antibacterial evaluation for biomedical applications [J]. Chemical Communications, 2007, **28**: 2959 - 2961.
- [14] Niño-Martínez N, Martínez-Castañón G A, Aragón-Piña A, et al. Characterization of silver nanoparticles synthesized on titanium dioxide fine particles [J]. Nanotechnology, 2008, **19**(6): 1-8.
- [15] Kim B J, Park S J. Antibacterial behavior of transition-metals-decorated activated carbon fibers [J]. Journal of Colloid and Interface Science, 2008, **325**: 97-299.
- [16] Park S J, Jane Y S. Preparation and characterization of activated carbon fibers supported with silver metal for antibacterial behavior [J]. Journal of Colloid and Interface Science, 2003, **261**(2): 238-243.
- [17] Wang Y L, Wan Y Z, Dong X H, et al. Preparation and characterization of antibacterial viscose-based activated carbon fiber supporting silver [J]. Carbon, 1998, **36**(11): 1567-1571.
- [18] 韩萃. 载银活性炭的载银量分析 [J]. 化学世界, 1999, **11**: 606-608.
- [19] Quiroga E N, Sampietro A R, Vattuone M A. Screening antifungal activities of selected medicinal plants [J]. Journal of Ethnopharmacology, 2001, **74**(1): 89-96.
- [20] 万连印. 双硫腙-四氯化碳萃取分光光度法测定银 [J]. 分析与环保, 2006, **27**(6): 54-56.
- [21] 曹云峰. 紫外-可见光光谱法测定载银活性炭中的Ag⁺含量 [J]. 煤化工, 2006, **3**: 50-52.
- [22] Chen S X, Zeng H M. Improvement of the reduction capacity of activated carbon fiber [J]. Carbon, 2003, **41**(6): 1265-1271.

-
- [23] Outlaw R A, Wu D, Davidson M R, *et al.* Study of the oxygen transport through Ag(110), Ag(poly), and Ag 2.0 Zr [J]. Journal of Vacuum Science and Technology A, 1992, **10**(4): 1497-1502.
- [24] Eberhart M E, Donovan M M, Outlaw R A. Ab initio calculations of oxygen diffusivity in group-IB transition metals [J]. Physical Review B, 1992, **46**(19): 12744-12747.
- [25] Grunwaldt J D, Atamny F, Gobel U, *et al.* Preparation of thin silver films on mica studied by XRD and AFM [J]. Applied Surface Science, 1996, **99**(4): 353-359.
- [26] Liu S W, Huang W P, Chen S G, *et al.* Synthesis of X-ray amorphous silver nanoparticles by the pulse sonoelectrochemical method [J]. Journal of Non-Crystalline Solids, 2001, **283**(1-3): 231-236.